

同心圆筒法测量
粉体比电阻的研究

目 录

摘 要

一、前 言

二、实验装置和方法

1. 实验装置

2. 实验方法

三、主要实验结果和讨论

1. 测量时间

2. 测量电压

3. 粉料的堆积密度

4. 电极系数

5. 测量方法

6. 温湿度

四、结 论

参考文献

摘 要

本文以研究实验室的测量方法为目的。对于目前常用的粉体比电
阻测量方法之一——同心圆筒法，进行初步的实验与探讨。

作者综合分析三种具有代表性的测量方法，认为，同心圆筒法作
为实验室的一种测量方法，可以使气体从粉体层中通过，对于模拟粉
体存在下的气相条件，有其独特的优点。

鉴于上述，作者以同心圆筒法为研究对象，以除尘器实验研究中
常用的飞灰、滑石粉、碳黑三种粉体为试样，探讨电极系数、粉体堆
积密度、测量延续时间（停止升压后经过的时间）、测量电压等因素，
对于粉体比电阻值的影响；同时，用同心圆筒法与平行圆盘法，以及
同“武安所”“鞍钢劳研所”“西安热工所”的测量方法进行了比较。

关于电压、温度、湿度等，对影响测量的实验结果，则与历来的
文献记载是一致的。但也发现滑石粉的比电阻值，随着测量电压的上
升而逐渐增加。

笔者制作了各种不同几何尺寸的电极，使电极系数变化在 $6 \cdot 12$
 $\sim 94 \cdot 67$ 的范围内，对粉体比电阻值几乎没有影响。但粉体层厚
度取 $2 \cdot 5 \sim 5 \text{ mm}$ 为宜。

控制振动器振动的时间改变粉体堆积密度，观察其对比电阻值的
影响，实验表明粉体堆积密度的影响很小，可忽略不计。

测量时间和电压的选择，影响粉体比电阻值。随着测量时间的延

续。电流将自然逐渐减少，电压则将自然增加，引起比电阻值的增加，笔者通过90分钟的观察，发现比电阻值最大可有1.5倍的波动。

作者在上述实验研究的基础上，特别考虑到测量时间与测量电压的影响，认为有必要制订测量电压和测量时间的国家标准以及研制粉体比电阻自动测量仪，以提高测量精度。

一、前言

粉体的比电阻，对于干式静电除尘器的正常运行和除尘效率有极大的影响，所以，对静电除尘器无论是研究、设计或在使用过程中，都必须测出粉尘比电阻这一重要参数。

早在本世纪初，国外即开始了这方面的研究。迄今，比电阻的测定法已多种多样⁽¹⁾，其中，具有代表性的方法是平行圆盘法（以下简称圆盘法）、探针法、同心圆筒法（以下简称圆筒法）^(1~5)。

为了使实验室测量更接近于实际状态，常需模拟电除尘器的气相条件，模拟一般有三种方式：一是美国的容器恒温恒湿法，即把填有粉料的圆盘电极，置于可以调节空气温、湿度的容器内进行测定⁽²⁾。^(5, 6)由于气体与粉料的接触面受到电极的限制，故需较长的平衡时间；二是日本推荐的环形风道（race track）法⁽²⁾，此法设置环形保温风道，使用针——板电极，风机耐温耐蚀，设备结构庞大，而针一板电极尚需较长的捕集粉尘时间；三是利用圆筒电极结构上的特点，使具有一定温度和湿度的气体强制通过极间粉尘层，以测量其比电阻值的同心圆筒法。Končar - Djurdjević, Petković于1977年发表过有关的研究报告⁽⁸⁾。截止目前，此法尚未普遍应用，但具有固气二相缩短吸附平衡时间的特点，并且结构简单，因此我们采用圆筒法作为研究对象。

关于同心圆筒电极的几何尺寸和电极系数，目前尚无统一标准。

日本工业标准(J I S)采用电极系数为 24⁽²⁾, Končar — Djurdjević 和 Petković 采用电极系数为 22·3⁽⁸⁾。再者, 即使电极系数相同, 其几何尺寸也可千差万别。据此, 我们变换不同几何尺寸和不同系数的电极, 进行实验, 选定了最佳几何尺寸和电极系数。

实验指出, 应该用机械震动填料代替以往的手工作业, 以克服堆积密度对比电阻的影响。

粉料层两端施加电压后, 随着时间的变化, 粉料层的电流以及粉料层两端的电压究竟如何, 我们尚未看到有关的研究报告, 升压时间的变化对比电阻的影响需要观察。

比电阻的测量电压, 日本采用 100 V⁽³⁾, 澳大利亚采用 1·5—4 KV⁽⁷⁾, 美国采用接近粉料层击穿时的电压⁽⁶⁾。因此我们测量了不同电压下试样的比电阻。

温、湿度, 对比电阻的影响, 我们作了观察性实验。

另外, 用圆筒法与其他测量方法进行了对比, 我们参照美国机械工程师学会(ASME)的标准, 制作圆盘法测量装置, 并与圆筒法电极进行了对照实验。同时与武汉冶金安全研究所, 鞍钢劳动卫生研究所, 西安热工研究所的测量结果进行了比较。

二 实验装置和方法

1. 实验装置

图1是实验装置示意图。外电源为交流220V。外电源经过稳压器(1)

稳压后，

供给电

压控制柜

(2) 电压

控制柜的

调压范围

从0~

220V。

高压直流

电源(3)将

控制柜输

入的交流

电源升压、整流，其负极输出向比电阻测量器(4)，正极接地。用Q4—V型高压静电电压表(量程0~100KV)或DS~13型积分式数字电压表(量程0~1000V)，测量粉料层两端的电压。用微安表或检流计测量通过粉尘层的电流。恒温箱(5)的温度控制范围从室温到300°C。

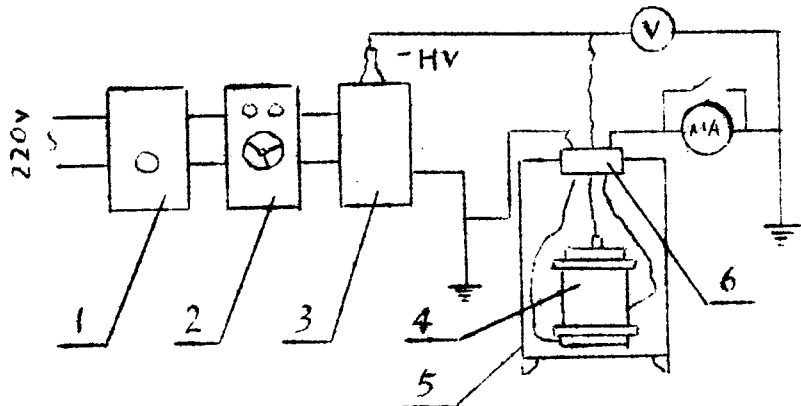


图1 实验装置示意图

图2是比电阻测量器示意图。中心电极和圆筒电极分别接电源负

极和地。屏蔽电极亦接地。筛板系一多孔板，强制气流可经筛孔通过粉料层。

图3是用以装填粉料的电磁震动器，震动方向为上下往复震动，频率为50次/ s ，震幅 0.11 mm 。用阿斯曼湿度计测定空气湿度。

2 实验方法

试样选用四种粉料。第一种是滑石粉，来源于北京市石粉厂；第二种为发电场飞灰1#（飞灰1#是经过 250°C 烘干二小时后缓冷至常温的制备；飞灰1#B是经过 600°C 灼烧半小时后，缓冷至常温的制备）；第三种为发电厂飞灰2#；这两种飞灰均来源于水利电力部电力建设科学研究所；第四种为碳黑粉，来源于吉林碳素厂。图4是用巴柯(Bacho)法作的试样粒度R-R分布曲线(其中飞灰1#不成直线)。操作程序如下：

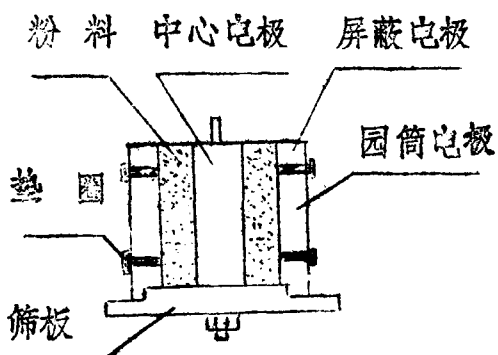


图2 比电阻测量器示意图

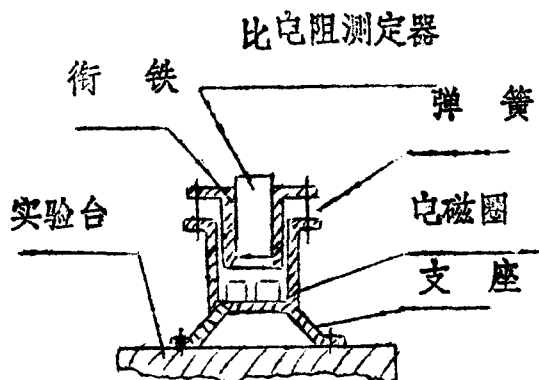


图3 震动器示意图

(1)用角勺

把拌合均匀的
试样量入磨口瓶

内封存待用。

如粉料潮湿有

结块，则需

50℃下烘3

小时，缓冷至

常温的处理。

(2)用角勺

把粉料填入比

电阻测量器的

电极夹缝中，

使粉尘呈自然

堆积状态，然

后把测量器放

入震动器，震

动两次。经第

99.99

99.9

99.8

99.5

99

98

95

90

80

70

60

50

40

30

20

10

5

2

0.5

0.2

0.1

0.05

0.01

1

2

3

4

5

6

7

8

9

10

20

30

40

50

100

试样	比重
碳黑	2.07
滑石	2.73
飞灰1#	0.675
飞灰2#	0.75

碳 黑

滑 石

飞灰1#

飞灰2#

图4 试样粒度分布

一次震动粉料向下塌陷，加满粉料再震动第二次。震动时间因试样而异，炭黑、飞灰，每次震动4秒，滑石粉每次震动8秒。

(3) 把测量器放入恒温箱，按照图1，分别连接各电极上的导线，启动恒温器电源，调节至所需要的温度。

(4) 开启电源，调节电压控制器的手柄，以 200 V/S 速率升压，直到粉料击穿为止。每击穿一次，更换一次试样，取三次击穿的算术平均值作为粉料的击穿电压。

(5) 重新装入粉料试样，依照(2)、(3)、(4)的顺序，使电压上升到粉料击穿电压的 $80\sim90\%$ ，记录仪表上的电压和电流。

(6) 按下式进行计算 ⁽²⁾

$$\rho = \frac{V}{I} \cdot \frac{2\pi h}{\ln \frac{R_2}{R_1}}$$

式中：

ρ —— 比电阻 ($\Omega \cdot \text{cm}$)；

V —— 粉尘层两端的电压 (V)；

I —— 通过粉尘层的电流 (A)；

h —— 圆筒电极的高度 (cm)；

R_1 、 R_2 —— 分别为中心电极的半径和圆筒电极的半径 (cm)。

(7) 对于低比电阻粉体，如炭黑，因为没有电击穿，其测量电压选用 $0\sim5\text{ V}$ 。

(8) 观察测量时间对比电阻的影响时，实验中逐渐提高滑石粉两端的电压，为便于观察，将电压升到 5 KV ，将此点作为时间座标的0

点，随时间记录电压和电流的变化情况。

三、主要实验结果和讨论

1. 测量时间

对粉料层施加电压的过程中，由于手动调压不均匀，在调压间断的瞬间，发现电流表的指针向后偏转。电流值略有下降。倘若停止升压，随着时间的延续，电流下降，电压上升。

延续 9.4 分钟的实验结果如图 5 所示。图中横坐标为时间，左侧纵坐标为电流，右侧纵坐标为电压。从图中可以看出，随着时间的变化，通过粉料层的电流从 $540 \mu A$ 逐渐减少，而粉料两端的电压则从 $5 KV$ 逐渐升高。两者皆逐渐趋于一个常数。至 8.7 分钟，电流和电压几乎不再发生变化。实验一直观察到 9.4 分钟，电压为 $6.4 KV$ ，电流为 $40 \mu A$ 。

造成电流减小的原因是复杂的。其主要原因，一是粉料层可为电阻和电容并联的阻容回路。电流减小和电压的升高，类似于电容的充电效应⁽⁹⁾；二是粉料层在高压电场下，有电子和离子的移动，使粉料粒子带有电荷，在有电位差存在下，电荷便沿着电阻小的路线中和，中和速度与粉料的导电率有关⁽¹⁰⁾。

表 1 列入了停止升压瞬间，即测量时间为 0 时的比电阻值和停止升压 1 分钟的比电阻值。从表 1 可以看出，延续 1 分钟的测量值均比瞬时测量值大。

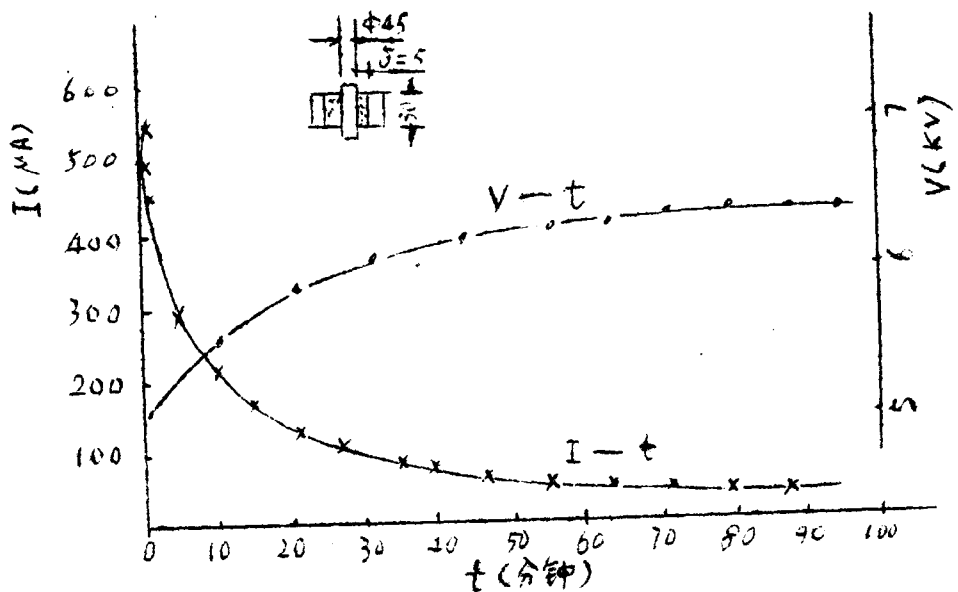


图 5 电流、电压和测量时间

2. 测量电压

图 6 是在不同电压下，对于飞灰 1#、飞灰 2# 和滑石粉的测量结果。纵坐标为比电阻值，横坐标为测量电压。从图中可以看到飞灰 1# 和滑石粉的比电阻，随着测量电压的增加而增加。飞灰 2# 则随着测量电压的增加而减小。

序号	测量时间(分)	比电阻($\Omega \cdot \text{cm}$)
1	0	$2 \cdot 43 \times 10^8$
1	1	$5 \cdot 60 \times 10^8$
2	0	$3 \cdot 00 \times 10^8$
2	1	$5 \cdot 46 \times 10^8$
3	0	$3 \cdot 95 \times 10^8$
3	1	$6 \cdot 24 \times 10^8$
4	0	$4 \cdot 39 \times 10^8$
4	1	$7 \cdot 14 \times 10^8$
5	0	$4 \cdot 21 \times 10^8$
5	1	$7 \cdot 16 \times 10^8$

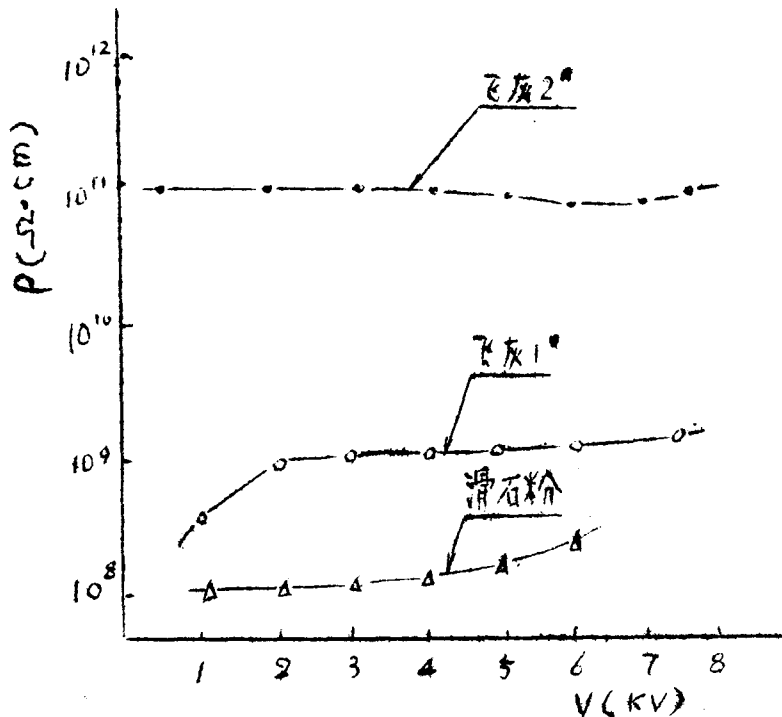


图 6 测量电压和粉料的比电阻

的增加而略有减少，在接近击穿电压附近又略有增加。通常⁽⁵⁾⁽⁶⁾提出的比电阻随测量电压增加而下降这一事实，而本实验则揭示了，亦存在比电阻随测量电压而上升的情况。

这是由于粉料导电的特性所造成的⁽⁴⁾⁽⁹⁾，因而从宏观来看，多数粉料的导电不符合欧姆定律。

图 7 (a) (b) 是飞灰 1#、飞灰 2# 及滑石粉的导电特性曲线。其横坐标为加在粉料层两端的电压，纵坐标为通过粉料层的电流。三条曲线均不符合欧姆定律。

3. 粉料的堆积密度

在选用四种试验粉料中，以粘附性最强（安息角约 50°）的滑

石粉为试样。借震动器调节滑石粉的震动时间，改变其堆积密度。

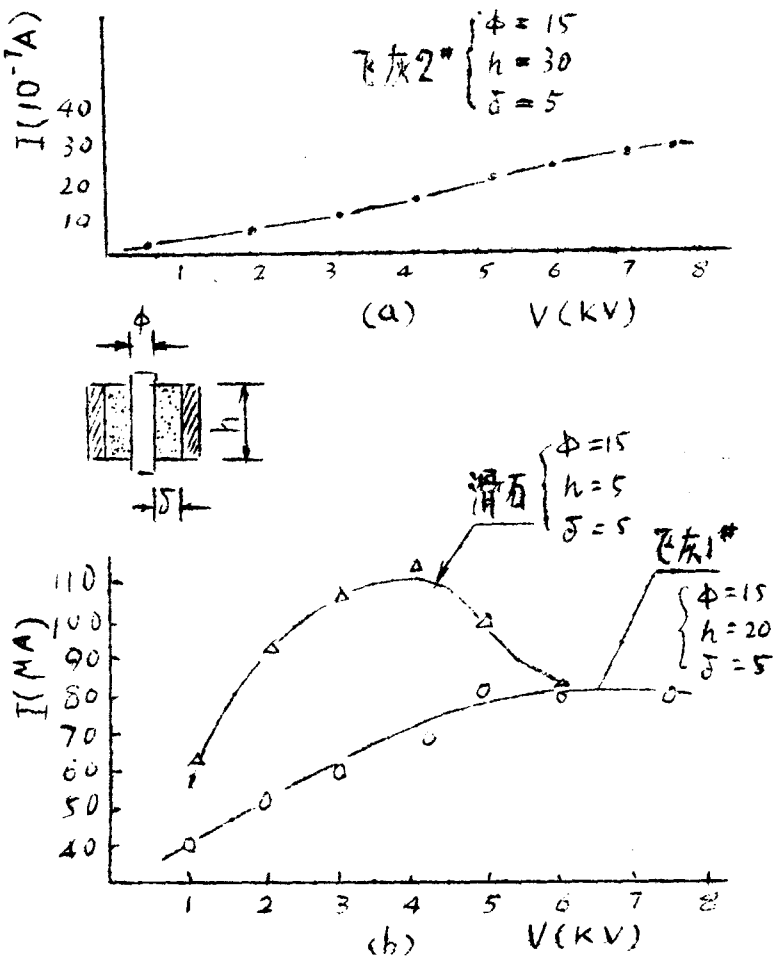


图 7 粉料的导电特性

图 8 是震动时间在 0~14 秒的范围内，比电阻随其变化的实验结果。

从图 8 中可看到，粉料的比电阻几乎不受震动时间的影响，即不受堆积密度的影响（大量的实验证实，滑石粉经过 6~8 秒的震动就不再继续下陷，即震动时间 > 3 秒其堆积密度不再增加）。

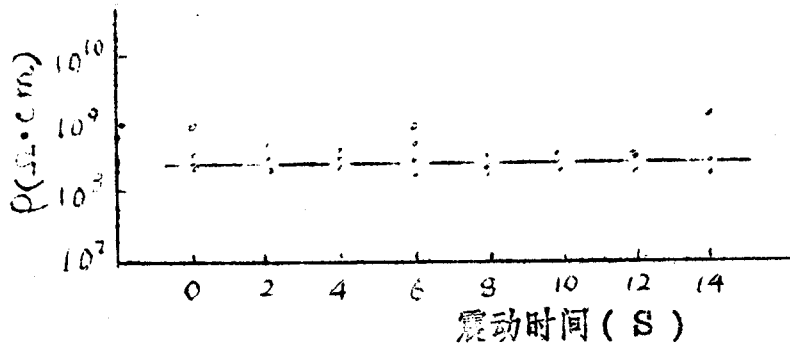


图8 震动时间和比电阻

从理论上分析，粉料的填充层中，如忽略媒介导电，其导电回路如图9所示(10)。

其中 R_s 为粉料内部
电阻， R_t 为粉料表
面电阻， R_c 为粉料
颗粒间的接触电阻。

则粉料层的电阻 R ，可用下式表达：

$$\frac{1}{R} = \frac{1}{R_t} + \frac{1}{R_s + R_c} \quad (2)$$

根据(2)式可知，随着堆积密度增加，粉料的电阻将减小。佐藤建等三人(11)把氧化铝粉末施以数十~数百 kg/cm^2 的压力，其比电阻约从 $10^8 \Omega \cdot \text{cm}$ 降到 $10^5 \Omega \cdot \text{cm}$ 。Januriusz Gorecki 等三人(12)在圆盘电极上，使粉料受压从 0 增加到 50×10^4

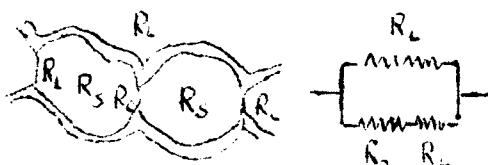


图9 粉料颗粒的导电 (10)

帕，比电阻才从 $5 \times 10^9 \Omega \cdot \text{cm}$ 降到 $1 \times 10^9 \Omega \cdot \text{cm}$ 。能祖茂幸⁽³⁾用圆盘法实验，认为电极对粉料的压力在 $0 \sim 0.25 \text{ kg/cm}^2$ 时，比电阻没有显著变化。可见在本实验范围内，粉料堆积密度的变化对比电阻的影响是较小的，而它往往被测量误差所淹没，因此粉料堆积密度对比电阻的影响可略去不计。

4. 电极系数

图10是通过改变圆筒电极 h 值，使电极系数 K 波动在 $6 \sim 12 \sim 48 \sim 98$ 时，对比电阻的实验结果。图中横坐标为同心圆筒电极

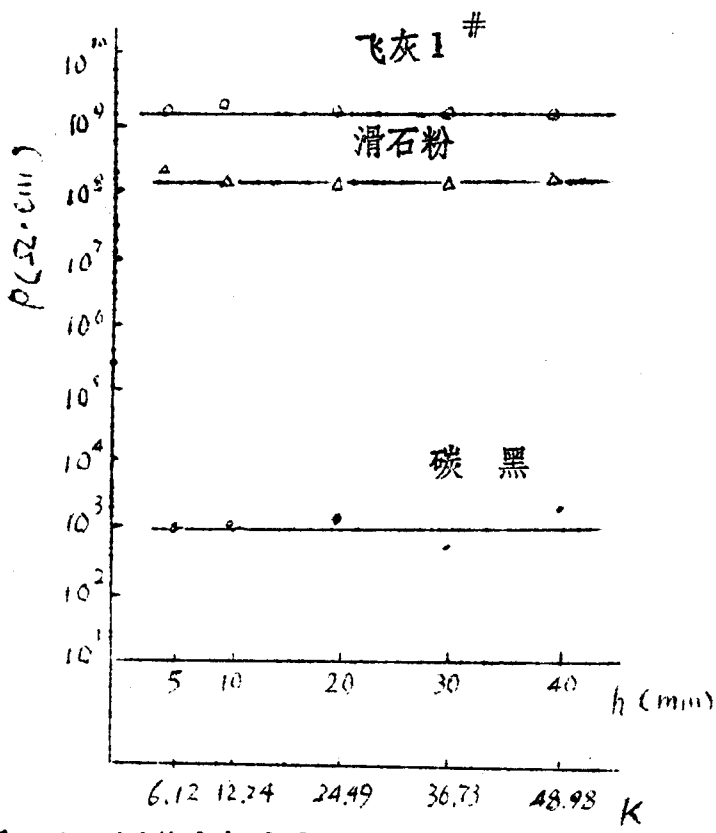


图10 圆筒电极高度和比电阻

的高度 h (或因其变化的电极系数 K)，纵座标为比电阻。从图中可以看到，当圆筒电极高度变化时，飞灰 1#、滑石粉、碳黑三种试样的 $\rho = f(h)$ 线是平行于横座标的直线。这就说明随着圆筒电极高度的改变而电极系数变化时，比电阻值几乎保持一个常数。

选择中心电极直径从 5 mm 到 45 mm (K 从 17•14 到 94•67) 的测量器，分别测量飞灰 1# (50 °C 洪 3 小时，冷至常温)，滑石粉、碳黑的比电阻。所得结果列入表 2。

表 2 中心电极直径和比电阻

ϕ (cm)	K	ρ (Ω·cm)		
		飞灰 1#	滑石粉	碳黑
5	17•17	$1•13 \times 10^9$	$3•2 \times 10^8$	$6•94 \times 10^8$
10	27•21	$1•52 \times 10^9$	$5•4 \times 10^8$	$1•27 \times 10^9$
15	36•73	$1•13 \times 10^9$	$4•9 \times 10^8$	$3•19 \times 10^9$
25	55•91	$1•89 \times 10^9$	$5•2 \times 10^8$	$3•19 \times 10^9$
35	74•76	$1•34 \times 10^9$	$4•7 \times 10^8$	$4•84 \times 10^9$
45	94•67	$1•43 \times 10^9$	$7•1 \times 10^8$	$5•64 \times 10^9$

从表中可以看出，由于中心电极直径的改变引起电极系数的变化对试料比电阻几乎没有影响；飞灰 1# 波动在 $(1•13 \sim 1•89) \times 10^{10}$ Ω·cm，滑石粉波动在 $(3•2 \sim 7•1) \times 10^8$ Ω·cm，碳黑则波动在 $3•19 \times 10^8 \sim 1•27 \times 10^9$ Ω·cm 的范围内。